

# Использование тензорных сетей для сжатия и восстановления изображений

Александр Моложавенко molozhavenko.aa@phystech.edu

## Project Proposal

В этом проекте рассматривается возможность использования тензорных сетей для задач восстановления изображения по значениям в небольшом числе пикселей (tensor completion), а также для сжатия изображений.

## 1 Идея

С помощью тензорных сетей (*PEPS*, *Tensor Ring*, *Tensor Train*), алгоритма *Greedy-TN* [1], его модификаций и алгоритмами *HOSVD*, *ALS* найти оптимальные конфигурации для минимально возможного по количеству параметров представления изображений. Аналогично этими методами решается задача восстановления изображений.

### 1.1 Проблема

Пусть имеется картинка  $M \in \mathbb{R}^{3 \times d_w \times d_h}$ , задаваемая тремя матрицами пикселей (фильтр синего, фильтр красного и фильтр зеленого) или трехмерным тензором. Преобразуем трёхиндексную матрицу  $M$  в многоиндексную матрицу (в тензор высокого порядка) по основанию  $b$ , то есть:

$$M \in \mathbb{R}^{3 \times d_w \times d_h} \mapsto \mathcal{T} \in \mathbb{R}^{b \times b \times \dots \times b}.$$

Количество мод полученного тензора, равняется  $N = \log_b(3 \cdot d_h \cdot d_w)$ . Количество элементов в таком представлении изображение есть  $3 \cdot d_w \cdot d_h = b^N$ . Однако, если к полученному тензору высокого порядка применить *Tensor Train Decomposition* из  $N$  тензоров свертке с максимальным рангом тензорного поезда  $m$ , то придется хранить всего лишь около  $N \cdot b \cdot m^2$  элементов. Что при правильной оптимизации ранга разложения может дать существенное сжатие.

В терминах статьи [1] введем в рассмотрение тензорную сеть  $\text{TN}(\mathcal{G}^{(1)}, \mathcal{G}^{(2)}, \dots, \mathcal{G}^{(N)})$ , которая в свертке по заданным в ней модам даёт тензор  $\mathcal{W} \in \mathbb{R}^{b \times b \times \dots \times b}$ . В этих обозначениях проблемы восстановления и сжатия изображений переписутся следующим образом:

#### 1.1.1 Image compression

$$\|\mathcal{T} - \text{TN}(\mathcal{G}^{(1)}, \mathcal{G}^{(2)}, \dots, \mathcal{G}^{(N)})\|_F^2 \rightarrow \min_{\mathcal{G}^{(1)}, \mathcal{G}^{(2)}, \dots, \mathcal{G}^{(N)}}, \quad (1)$$

причём в зависимости от выбранного метода оптимизации данной функции будут или не будут накладываться дополнительные условия связи между *core*-тензорами тензорной сети (адаптивный метод *Greedy-TN*, например автоматически подбирает нужные связи)

#### 1.1.2 Image Completion

$$\frac{1}{|\Omega|} \sum_{(i_1, \dots, i_N) \in \Omega} \left( \mathcal{T}_{i_1, \dots, i_N} - \text{TN}(\mathcal{G}^{(1)}, \mathcal{G}^{(2)}, \dots, \mathcal{G}^{(N)})_{i_1, \dots, i_N} \right)^2 \rightarrow \min_{\mathcal{G}^{(1)}, \mathcal{G}^{(2)}, \dots, \mathcal{G}^{(N)}}, \quad (2)$$

где  $\Omega$  – множество индексов, значения под которыми нам известны (индексы известных частей картинки после её отображения в тензор высокого порядка).

## 2 Литературный обзор

### 2.1 Adaptive tensor learning with tensor networks

В работе идет речь про тензорные разложения (*TT*, *TR* и *Tucker*) и метод *Greedy-TN* поиска оптимального разложения тензора с помощью TensorNetwork для восстановления изображения.

#### 2.1.1 TensorNetwork

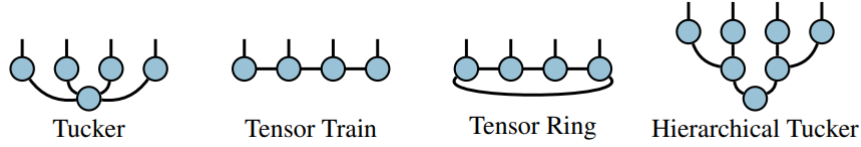


Figure 1: Тензорная сеть для тензорных разложений

Построенная тензорная сеть является решением задачи минимизации функции потерь  $\mathcal{L}$ . Рассмотрим пример:  $\mathcal{T} \in \mathbb{R}^{d_1 \times d_2 \times d_3 \times d_4}$  - мы хотим его разложить в ТТ, тогда мы ищем:

$$\min_{\substack{\mathcal{G}^{(1)} \in \mathbb{R}^{d_1 \times r_1 \times 1 \times 1}; \mathcal{G}^{(2)} \in \mathbb{R}^{r_1 \times d_1 \times r_2 \times 1}; \\ \mathcal{G}^{(3)} \in \mathbb{R}^{1 \times r_2 \times d_3 \times r_3}; \mathcal{G}^{(4)} \in \mathbb{R}^{1 \times 1 \times r_3 \times d_4}}} \mathcal{L}(TN(\mathcal{G}^{(1)}, \mathcal{G}^{(2)}, \mathcal{G}^{(3)}, \mathcal{G}^{(4)})) \quad (3)$$

Но в общем случае тензорная сеть может иметь больше связей и выглядеть, например, вот так:

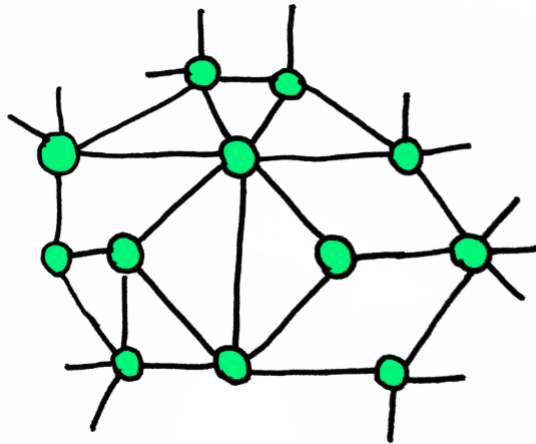


Figure 2: Вид тензорной сети

#### 2.1.2 Greedy Algorithm

Из  $\mathcal{T} \in \mathbb{R}^{d_1 \times d_2 \times \dots \times d_p}$  строим его приближение core-тензорами  $\mathcal{G}^{(i)} \in \mathbb{R}^{R_{1,i} \times \dots \times R_{i-1,i} \times d_i \times R_{i,i+1} \times \dots \times R_{i,p}}$ .

Операции алгоритма описаны на [3](#)

---

**Algorithm 1** Greedy-TN: Greedy algorithm for tensor network structure learning.

---

**Input:** Loss function  $\mathcal{L} : \mathbb{R}^{d_1 \times \dots \times d_p} \rightarrow \mathbb{R}$ , splitting node threshold  $\varepsilon$ .

- 1: // Initialize tensor network to a random rank one tensor and optimize loss function.
- 2:  $R_{i,j} \leftarrow 1$  for  $1 \leq i < j \leq p$
- 3: Initialize core tensors  $\mathcal{G}^{(i)} \in \mathbb{R}^{R_{1,i} \times \dots \times R_{i-1,i} \times d_i \times R_{i,i+1} \times \dots \times R_{i,p}}$  randomly
- 4:  $(\mathcal{G}^{(1)}, \dots, \mathcal{G}^{(p)}) \leftarrow \text{optimize } \mathcal{L}(\text{TN}(\mathcal{G}^{(1)}, \dots, \mathcal{G}^{(p)}))$  w.r.t.  $\mathcal{G}^{(1)}, \dots, \mathcal{G}^{(p)}$
- 5: **repeat**
- 6:    $(i, j) \leftarrow \text{find-best-edge}(\mathcal{L}, (\mathcal{G}^{(1)}, \dots, \mathcal{G}^{(p)}))$
- 7:   // Weight transfer
- 8:    $\hat{\mathcal{G}}^{(k)} \leftarrow \mathcal{G}^{(k)}$  for  $k \in [p] \setminus \{i, j\}$ ;  $R_{i,j} \leftarrow R_{i,j} + 1$
- 9:    $\hat{\mathcal{G}}^{(i)} \leftarrow \text{add-slice}(\mathcal{G}^{(i)}, j)$  // add new slice to the  $j$ th mode of  $\mathcal{G}^{(i)}$
- 10:    $\hat{\mathcal{G}}^{(j)} \leftarrow \text{add-slice}(\mathcal{G}^{(j)}, i)$  // add new slice to the  $i$ th mode of  $\mathcal{G}^{(j)}$
- 11:   // Optimize new tensor network structure
- 12:    $(\mathcal{G}^{(1)}, \dots, \mathcal{G}^{(p)}) \leftarrow \text{optimize } \mathcal{L}(\text{TN}(\mathcal{G}^{(1)}, \dots, \mathcal{G}^{(p)}))$  from init.  $\hat{\mathcal{G}}^{(1)}, \dots, \hat{\mathcal{G}}^{(p)}$
- 13:   // Add internal nodes if possible (number of cores  $p$  may be increased after this step)
- 14:    $(\mathcal{G}^{(1)}, \dots, \mathcal{G}^{(p)}) \leftarrow \text{split-nodes}((\mathcal{G}^{(1)}, \dots, \mathcal{G}^{(p)}), \varepsilon)$
- 15: **until** Stopping criterion

---

Figure 3: Greedy Algorithm

## 2.2 Matrix Product State / Tensor Train

Matrix Product State (MPS) или *tensor train* (TT) - это факторизация тензора с  $N$  индексами в цепочечное произведение трехиндексных тензоров. Это частный случай tree tensor network (TTN).

TT факторизация тензора  $T$  может быть представлена в графической нотации Пенроуза

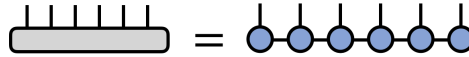


Figure 4: TT факторизация в нотации Пенроуза

В то же время, TT факторизация тензора  $T$  представима в традиционной нотации:

$$T^{s_1 s_2 s_3 s_4 s_5 s_6} = \sum_{\{\alpha\}} A_{\alpha_1}^{s_1} A_{\alpha_1 \alpha_2}^{s_2} A_{\alpha_2 \alpha_3}^{s_3} A_{\alpha_3 \alpha_4}^{s_4} A_{\alpha_4 \alpha_5}^{s_5} A_{\alpha_5}^{s_6} \quad (4)$$

где  $\alpha_i$  - это размерности тензоров  $A$ .

Важно понимать, что тензоры в тензорном поезде соединяются с помощью ребер, имеющие размерности  $d_i$ . К примеру, если есть тензор  $T^{s_1 s_2 \dots s_N}$ , имеющий  $N$  ребер с размерностями  $d$ , то тензор всегда может быть представлен в виде TT с размерностью  $m = d^{\frac{N}{2}}$

К тому же тензор с  $N$  ребрами с размерностями  $d$  должен определяться  $d^N$  параметрами, но представление этого вектора с помощью TT с рангом  $m$  требует  $Ndm^2$  параметров. При этом, кол-во параметров можно еще сильнее уменьшить.

Извлечение тензора размерности 1 из тензора стоит  $Nm^2$ . Если есть тензор

$$T^{s_1 s_2 s_3 \dots s_N} = \sum_{\{\alpha\}} A_{\alpha_1}^{s_1} A_{\alpha_1 \alpha_2}^{s_2} A_{\alpha_2 \alpha_3}^{s_3} \dots A_{\alpha_{N-1}}^{s_N}, \quad (5)$$

то извлечь из него тензор размерности 1 можно следующим образом – фиксируем  $s_j$  для каждого  $A$ . Затем свернем тензоры  $A_{\alpha_1}^{s_1}$  и  $A_{\alpha_1 \alpha_2}^{s_2}$  по  $\alpha_1$  и получим результирующий вектор  $L_{\alpha_2}$ , который затем свернется с  $A_{\alpha_2 \alpha_3}^{s_3}$ . Продолжая то же действие, мы получим  $s_1, s_2, s_3, \dots, s_N$  компонент через последовательность векторно-матричных умножений.

Что касается произведения двух  $TT$ , то имея два тензора

$$T^{s_1 s_2 s_3 s_4 s_5 s_6} = \sum_{\{\alpha\}} A_{\alpha_1}^{s_1} A_{\alpha_1 \alpha_2}^{s_2} A_{\alpha_2 \alpha_3}^{s_3} A_{\alpha_3 \alpha_4}^{s_4} A_{\alpha_4 \alpha_5}^{s_5} A_{\alpha_5}^{s_6} \quad (6)$$

и

$$W^{s_1 s_2 s_3 s_4 s_5 s_6} = \sum_{\{\beta\}} B_{\beta_1}^{s_1} B_{\beta_1 \beta_2}^{s_2} B_{\beta_2 \beta_3}^{s_3} B_{\beta_3 \beta_4}^{s_4} B_{\beta_4 \beta_5}^{s_5} B_{\beta_5}^{s_6}, \quad (7)$$

мы получим

$$\langle T, W \rangle = \sum_{\{s\}} T^{s_1 s_2 s_3 s_4 s_5 s_6} W^{s_1 s_2 s_3 s_4 s_5 s_6} \quad (8)$$

Сложность такого алгоритма составит  $Nm^3d$ .

Особенно мощной операцией является сжатие тензорной сети в форму  $TT$ . Для конкретики предположим, что мы хотим сжать  $TT$  размерности  $M$  до размерности  $m$ , так чтобы новый  $TT$  был как можно ближе к исходному, в смысле евклидова расстояния. Процедура сжатия начинается со свертки двух копий входной сети  $TT$  по всем внешним индексам, кроме последнего внешнего индекса. Чтобы эффективно вычислить свертку двух копий  $TT$ , формируются промежуточные тензоры  $E_1, E_2, \dots$  как показано на иллюстрации.

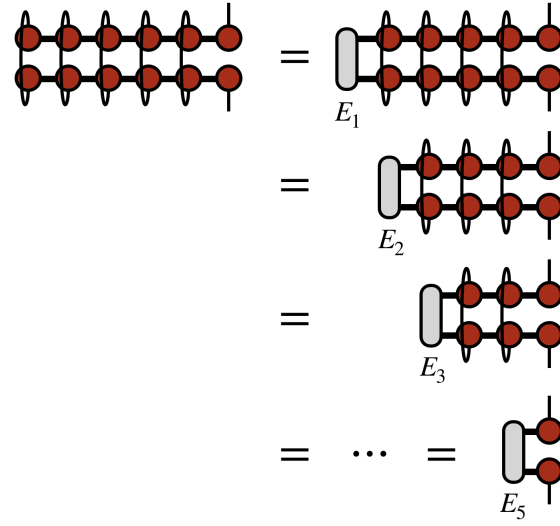


Figure 5: Преобразование свертки копий

Вычислив все  $E_j$  можно сформировать  $\rho_6$  reduced density matrix - квадрат тензора, представленного сетью, суммируемый по всем, кроме его последнего индекса.

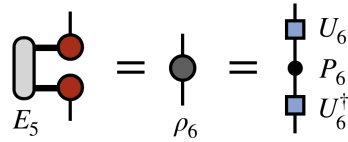


Figure 6: Reduced density matrix

Это эрмитова матрица, поэтому она всегда может быть диагонализирована унитарной  $U_6$ .

Чтобы сформировать новый тензор из сжатого  $TT$ , то мы формируем новую матрицу плотности и диагонализуем ее

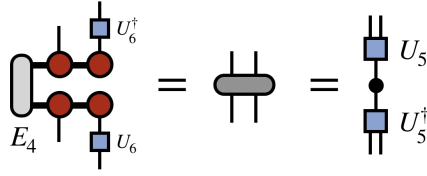


Figure 7: Следующий шаг

Получив  $U_5$  как показано выше, вычисляется следующая матрица плотности, снова используя все предыдущие  $U$  тензоры для поворота и сжатия пространства, охватываемого всеми предыдущими внешними индексами

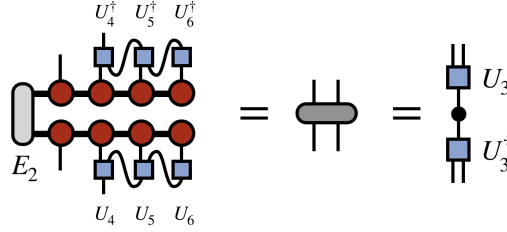


Figure 8: Следующая итерация

После того, как мы получаем все  $U$  тензоры, повторяя шаги выше, получим первый тензор нового  $TT$  с помощью следующей сверточной диаграммы

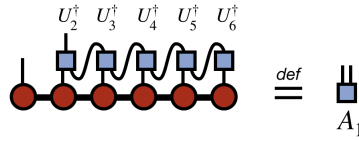


Figure 9: Сверточная диаграмма

Так соединив  $A_1$  со всеми  $U_j$  получим новый сжатый тензор.

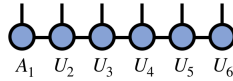


Figure 10: Сжатый тензор

## 2.3 Tensor Ring

В работе [2] исследуются свойства *Tensor Ring Decomposition*, которое заключается в представлении тензора высокого порядка в виде последовательности трёхмерных тензоров, которые умножаются «по кругу». Формально, пусть  $\mathcal{T} \in \mathbb{R}^{n_1 \times n_2 \times \dots \times n_d}$  – тензор высокого порядка, а  $\mathcal{Z}_k \in \mathbb{R}^{r_k \times n_k \times r_{k+1}}, k \in \overline{1, \dots, d}$  – множество трёхмерных тензоров, такие что:

$$\mathcal{T}(i_1, i_2, \dots, i_d) = \text{Tr}\{(\mathcal{Z}_1(i_1) \mathcal{Z}_2(i_2) \dots \mathcal{Z}_d(i_d))\} = \text{Tr} \left\{ \prod_{k=1}^d \mathcal{Z}_k(i_k) \right\}, \quad (9)$$

где  $\mathcal{T}(i_1, i_2, \dots, i_d)$  – число в многоиндексной таблице  $\mathcal{T}$  с индексами  $i_1, i_2, \dots, i_d$ , а  $\mathcal{Z}_k(i_k), \forall k \in \overline{1, \dots, d}$  – срез трехмерного тензора  $\mathcal{Z}_k$  с размерностью  $r_k \times r_{k+1}$ :

*Tensor Ring Decomposition* в отличие от *Tensor Train Decomposition* «устойчиво» по отношению к циклическим перестановкам рёбер тензора:

**Теорема**

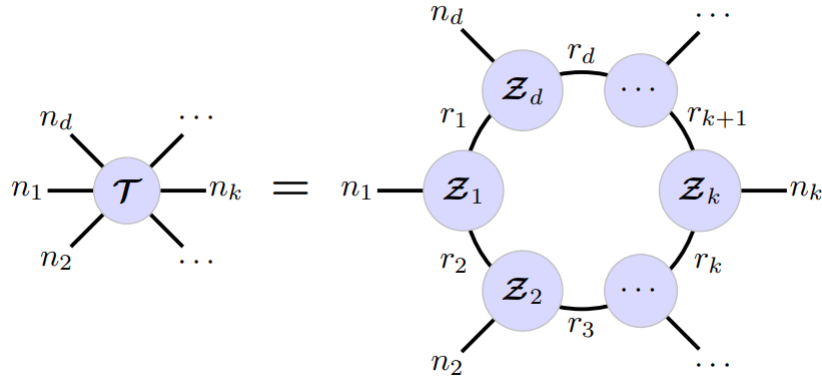


Figure 11: Графическое представление *Tensor Ring Decomposition*

Пусть  $\mathcal{T} \in \mathbb{R}^{n_1 \times n_2 \times \dots \times n_d}$  – тензор высокого порядка с *Tensor Ring Decomposition*  $\mathcal{R}(\mathcal{Z}_1, \mathcal{Z}_2, \dots, \mathcal{Z}_d)$ . Определим тензор  $\vec{\mathcal{T}} \in \mathbb{R}^{n_{k+1} \times \dots \times n_d \times n_1 \times \dots \times n_k}$ , полученный циклическим сдвигом рёбер исходного тензора  $\mathcal{T}$  на  $k$ , тогда его *Tensor Ring Decomposition* будет  $\mathcal{R}(\mathcal{Z}_{k+1}, \dots, \mathcal{Z}_d, \mathcal{Z}_1, \dots, \mathcal{Z}_k)$

Также статья даёт ответы на вопросы о некоторых алгебраических свойствах разложения *Tensor Ring* таких, как сложение и некоторые «хитрые» умножения.

## 2.4 Projected Entangled Pair States

Projected entangled pair states (PEPS) - обобщает тензорную сеть tensor train из одномерной сети в сеть на произвольном графе.

Тензорная диаграмма для *PEPS* на конечной квадратной решетке имеет вид:

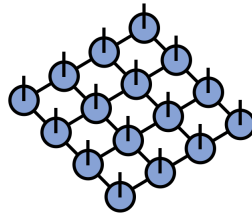


Figure 12: Тензорная диаграмма

Название PEPS происходит с той точки зрения на квантовую информацию, согласно которой общие тензорные сети можно рассматривать как максимально коррелированные тензоры в нескольких копиях тензорного индексного пространства, которые затем проецируются в одну копию индексного пространства.

## 3 Метрики качества

- 1) Относительное сжатие картинок для задачи сжатия
- 2) Относительная ошибка восстановления картинок для задачи восстановления
- 3) PSNR
- 4) Квадрат нормы Фробениуса разности тензоров

## 4 Примерный план

- Для задачи сжатия и восстановления: построить простую тензорную сеть для тензоризированной двумя различными методами картинки, используя *TT-SVD*, *ALS* и *Adam*.
- Проанализировать полученные результаты с помощью объявленных метрик.

- Сравнить работу алгоритма сжатия и восстановления с методами, работающими без тензоризации, например: *SVD* и скелетное разложение.

## References

- [1] Meraj Hashemizadeh, Michelle Liu, Jacob Miller, and Guillaume Rabusseau. Adaptive tensor learning with tensor networks. *CoRR*, abs/2008.05437, 2020.
- [2] Qibin Zhao, Guoxu Zhou, Shengli Xie, Liqing Zhang, and Andrzej Cichocki. Tensor ring decomposition. *CoRR*, abs/1606.05535, 2016.